

討10 ステンレス鋼精錬技術の改善

新日本製鐵株式会社

池原康允

小菅俊洋

○有吉春樹

I はじめに

光製鐵所ではEF-AODプロセスによりステンレス鋼を製造している。今回、AOD溶製に於ける精錬用ガスの低減及び大幅な製鋼時間の短縮を目指したAOD新プロセスの確立を目的に、(1)脱炭期に於ける吹錬技術の向上、(2)プロコン導入による吹錬制御の開発、(3)迅速還元技術について検討し、現場試験を実施した。AOD脱炭技術として、高炭域に於ては純酸素吹錬法、中炭域に於てはガス比連続切替法、低炭域に於てはAr搅拌脱炭法を、また還元技術として迅速還元法を確立し、その結果、還元用Si原単位、Arガス原単位及び耐火物原単位の大幅な向上が得られた。その概要について以下に報告する。

II ステンレス鋼脱炭技術の改善

II. 1 背景

AODの精錬コストの内、還元用Si、Arガス、耐火物の占める割合は大きく、これらのコストをいかに下げるかが重要である。

Fig.1に従来法と新法(O-Process)の吹錬方法の比較を示す。

従来法は脱炭期において酸素とArのガス比を4段階に切替えて吹錬していたが、今回吹錬法の抜本的な見直しを行い、AOD法の特徴を最大限に發揮し得る脱炭技術の開発を目指し、(1)高炭域での希釈ガスの必要性、(2)中炭域での脱炭酸素効率の向上、(3)低炭域での酸素ガスの必要性について検討した。

II. 2 操業条件

新法及び従来法の各操業条件をTable 1に示す。

II. 3 試験結果及び考察

(1) 純酸素吹錬法¹⁾

純酸素吹錬法と従来法($O_2/Ar = 4/1$)の脱炭酸素効率の比較をFig.2に示す。鋼中平均[%C] ≥ 0.7で純酸素吹錬法の脱炭酸素効率はAr希釈を行う従来法と同等である。この結果について、Hilty²⁾の平衡式(1)及びChipman³⁾の平衡式(2)より考察を行った。

Hiltyの式

$$\log \frac{[\%Cr] \cdot P_{CO}}{[\%C]} = -\frac{13800}{T} + 8.76 \quad (1)$$

Chipmanの式

$$\log \frac{[\%Cr]^{\frac{3}{4}} \cdot P_{CO}}{[\%C]} = -\frac{11520}{T} + 7.58 - 0.02[\%Cr] \quad (2)$$

$[\%Cr] = 20$, $P_{CO} = 0.6, 0.8, 1.0$ の各条件での(1), (2)式の平衡値とAOD精錬中の[%C], 温度推移の比較をFig.3に示す。純酸素吹錬では $P_{CO}=1$ と考えられ、両式で示される $P_{CO}=1$ の平衡[%C] 値より、精錬中の[%C] は鋼中[%C] ≥ 0.5 の高炭域

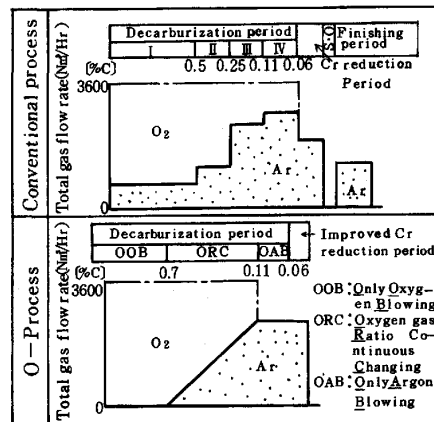


Fig.1 Schematic diagram of Conventional process and O-Process

Table 1 Operational condition of OOB, ORC and OAB method

	Carbon range [%C]	Conventional method	O-Process
Gas Pattern O_2/Ar (Nm³/Hr)	$[\%C] \geq 0.7$	2880 / 720	OOB 3600 / 0
	$0.5 \leq [\%C] < 0.7$	"	2880 / 720
	$0.25 \leq [\%C] < 0.5$	2400 / 1200	ORC ↓ 1200 / 2400
	$0.11 \leq [\%C] < 0.25$	1200 / 2400	OAB 0 / 2400
	$0.06 \leq [\%C] < 0.11$	800 / 2400	

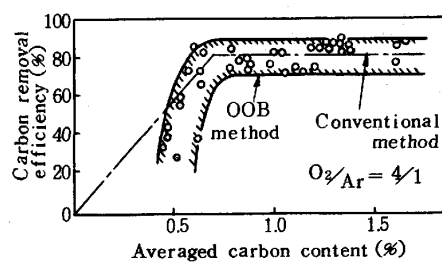


Fig.2 Carbon removal efficiency during Only-Oxygen-Blowing stage

で高くなっている。これより、 $[%C] \geq 0.7$ の高炭域では、Ar 希釈して P_{CO} を下げなくても優先脱炭が起こるものと考えられ、本試験結果はこれと一致する。純酸素吹鍊では単位時間内の酸素供給速度が従来法に比べて増加するため、脱炭速度が $0.02\ [%/min]$ 上昇し、精鍊時間が短縮された。また純酸素吹鍊では、羽口の受熱指数が増し羽口溶損量が増加することが懸念されたが、従来法と同等であった。

(2) ガス比連続切替法

中炭域では、ガス比をコントロールし P_{CO} を下げれば平衡 $[%C]$ が低炭側へ移行するため、脱炭酸素効率の向上に有効である。Fig. 4 に示すように、従来法ではステップ切替えのため $[%C]$ の減少に従って脱炭酸素効率が低下していた。これに対し、新法では、鋼中 $[%C]$ の変化について、プロコンによりガス比を連続的に切替え脱炭酸素効率を高位に推移させることを可能とした。本法を適用した結果を Fig. 5 に示す。

$0.25 \leq [%C] \leq 0.7$ の範囲で脱炭酸素効率が 6 % 向上し、還元用 Si 原単位が $0.7\ kg/T$ 低減した。

(3) Ar 換拌脱炭法¹⁾

Ar 換拌脱炭法と従来法の脱炭速度の比較を Fig. 6 に示す。 $O_2/Ar = 1/3$ の従来法と Ar 換拌脱炭法の脱炭速度がほぼ同等であることから、低炭域での脱炭は鋼中 [C] の拡散律速であると予測される。Ar 換拌脱炭中の [O], [C] の変化を Fig. 7 に示す。図中の破線は脱炭が鋼中 [C] と [O] のみによって起こるとした場合の化学量論値を、図中 (○) は実績を表している。この実績と化学量論値の違いは、脱炭中にスラグから酸素が供給されていることを示唆している。Fig. 8 に脱炭中の脱炭量 ($\triangle [C]$) と鋼中 [%Cr] 变化を示す。脱炭量が多くなるにつれて鋼中 [%Cr] が増加する傾向がみられることがから、スラグ中の Cr_2O_3 が酸素供給源の 1 つと考えられる。以上の結果から、Ar 換拌脱炭の脱炭反応は次式(3), (4)で示される。



脱炭後の溶存 [O] が化学量論値より多いこと、及び Ar 換拌脱炭法と従来法の脱炭速度が同等であることから、(4) 式が律速段階にあり、Ar 換拌脱炭法の脱炭反応は、鋼中 [C] の拡散律速であると推察される。

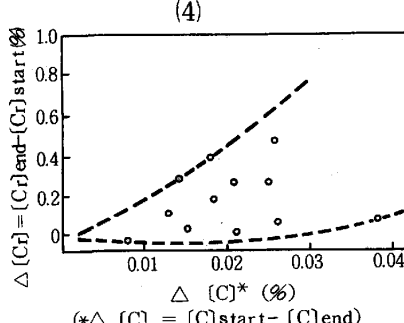


Fig 8 Relation between $\Delta [C]$ and $\Delta [Cr]$ during OAB stage

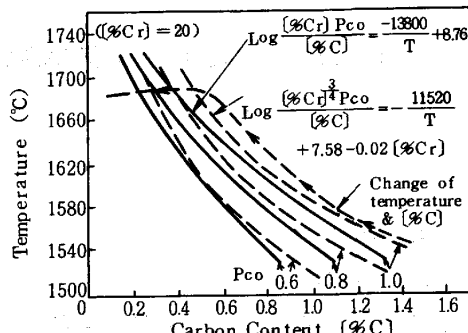


Fig 3 Comparison of calculated curves according to Hilti & Chipman with operational data

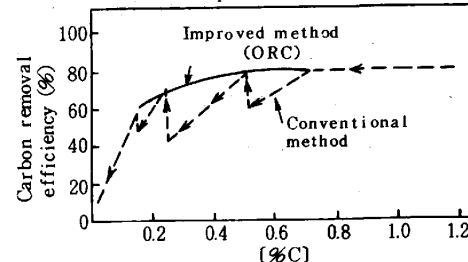


Fig 4 Effect of ORC method on carbon removal efficiency

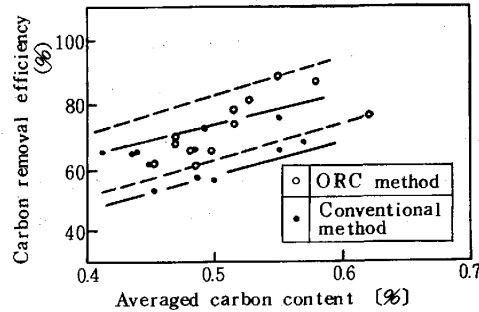


Fig 5 Comparison of carbon removal efficiency of ORC with conventional method

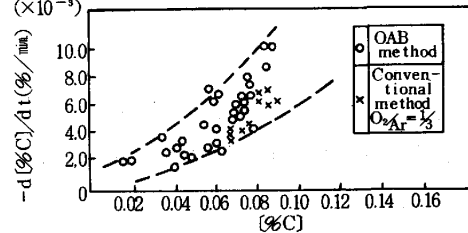


Fig 6 Relation between [C] and $-d[O]/dt$ during OAB stage

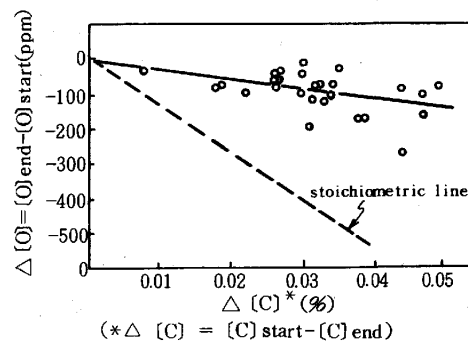


Fig 7 Relation between $\Delta [C]$ and $\Delta [O]$ during OAB stage

III ステンレス鋼還元技術の改善⁴⁾

III. 1 背景

AOD精錬に於て耐火物コストの占める割合は大きく、耐火物の溶損防止を図ることは極めて重要である。

AOD精錬中の耐火物溶損状況をFig.9に示す。還元期以降で溶損が急激に進行することが分る。したがって、耐火物原単位を低減し、炉寿命の延長を図るには、還元期以降の精錬時間の短縮が重要である。そこで、還元期以降の精錬時間の短縮を目指し、迅速還元法及び迅速脱硫法の開発を行った。

III. 2 操業条件

従来法と迅速還元、脱硫法の操業条件の比較をTable 2に示す。

III. 3 試験結果及び考察

(1) 迅速還元法

還元前塩基度(CaO/SiO_2)と還元後のスラグ中($\% \text{Cr}_2\text{O}_3$)の関係をFig.10に示す。還元前塩基度が高いほど、出鋼後のスラグ中($\% \text{Cr}_2\text{O}_3$)が高くなる傾向がある。還元反応はスラグ中 Cr_2O_3 のスラグ-メタル界面への物質移動律速で整理されるとし、還元速度定数を(5)式で表し、還元前($\text{CaO} + \text{Cr}_2\text{O}_3$)/ SiO_2 との関係を示したのがFig.11である。

$$K = \frac{1}{t} \ln \frac{(\% \text{Cr}_2\text{O}_3)_s}{(\% \text{Cr}_2\text{O}_3)_f} \quad (5)$$

K ; 反応速度定数 [min⁻¹]

t ; 時間 [min]

$(\% \text{Cr}_2\text{O}_3)_s$; 還元前スラグ中($\% \text{Cr}_2\text{O}_3$)

$(\% \text{Cr}_2\text{O}_3)_f$; 還元後スラグ中($\% \text{Cr}_2\text{O}_3$)

還元前($\text{CaO} + \text{Cr}_2\text{O}_3$)/ SiO_2 が高くなるとKが小さくなる傾向があることから、スラグ中の($\% \text{CaO}$),($\% \text{Cr}_2\text{O}_3$)が多くなるほどスラグ融点が高くなり、津化が遅れ、還元速度が低下したものと推察される。

以上のような結果に基づき、還元前スラグ組成をコントロールすることにより、Fig.12に示すように、3分間の炉内攪拌、出鋼攪拌により迅速還元が可能となった。

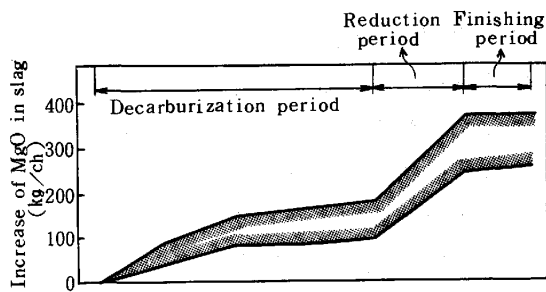


Fig.9 Change of refractory wear in AOD

Table 2 Operational condition of conventional and improved method

Blow pattern	Conventional method		Improved method	
	CaO CaF ₂ ↓ Fe-Si Cr Reduction period	S Finishing O period Tap	CaO CaF ₂ ↓ Fe-Si Improv. Cr red.	Tap
Gas flow rate	1,900 Nm ³ /Hr		2,400 Nm ³ /Hr	
Gas volume	220 Nm ³ /ch		100 Nm ³ /ch	
Cr Reduction and finishing time	17 min		3 min	
Tapping time	0.5 ~ 1.0 min		1 ~ 2 min	

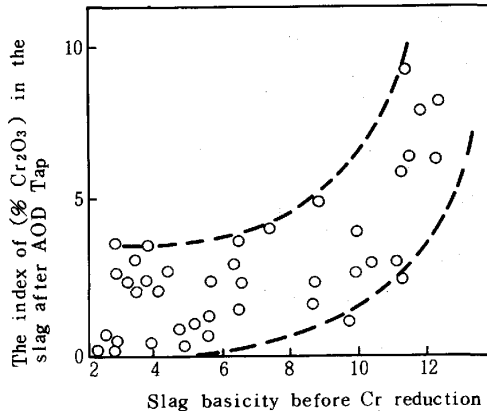


Fig.10 Relation between (% Cr₂O₃) in the slag after AOD tap and slag basicity before Cr Reduction.

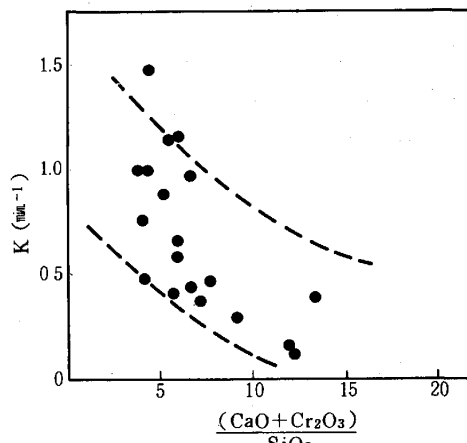


Fig.11 Relation between K and ($\text{CaO} + \text{Cr}_2\text{O}_3$)/ SiO_2 before Cr reduction.

(2) 迅速脱硫法

脱硫反応は還元反応が進み、スラグの酸素ポテンシャルが下った後起こる。したがって還元をうまく行なうことが脱硫の前提条件である。脱硫反応を一次反応として(6)式で示される脱硫速度定数K'を求め、還元前スラグ組成(CaO + Cr₂O₃) / SiO₂との関係を示したのがFig.13である。

$$K' = \frac{1}{t} \ln \frac{[\%S]_s}{[\%S]_f} / W_{\text{CaO}} \quad (6)$$

K' : 脱硫速度定数 [min⁻¹, kg⁻¹]

[%S]_s : 脱硫前鋼中 [%S]

[%S]_f : 出鋼後鋼中 [%S]

W_{CaO} : 添加CaO量 [kg]

還元前スラグ融点を低くコントロールすることにより、還元が迅速に進むためスラグ-メタル間反応が促進され、脱硫速度が上昇するものと考えられる。還元前スラグコントロールを行なった場合と従来法で、AOD出鋼後の(CaO + MgO) / (SiO₂ + Al₂O₃)と(S) / [S]の関係について比較を行った結果をFig.14に示す。迅速還元、脱硫を行っても従来法と同等の脱硫能が得られることが分った。

(3) 耐火物の溶損

Fig.15に迅速還元、脱硫法の適用率と部位別の耐火物溶損量を示す。適用率が増すにつれて、羽口周辺部及びスラグライン部とも耐火物溶損量が減少し、部位別の溶損量の差も小さくなっていることから、耐火物溶損が均一に、しかも非常に少なくなっていることが分る。

IV. まとめ

AOD新プロセスの開発により、実操業で希釈ガスで5.9 Nm³/T、還元用Siで1.2 kg/T、製鋼時間で14分の節減、短縮ができた。又AOD炉寿命では連続出鋼525回の世界記録を樹立した。

文献

- 1) 鈴木、西村、池原、有吉、高野、森重；鉄と鋼 69 (1983) 12 S 874
- 2) D. C Hiltz et.al; Trans. AIME 203 (1955)
- 3) J. Chipman; JISI 180 (1955) P 97
- 4) 池原、小菅、西田、日野、有吉、森重；鉄と鋼 69 (1983) 12 S 875

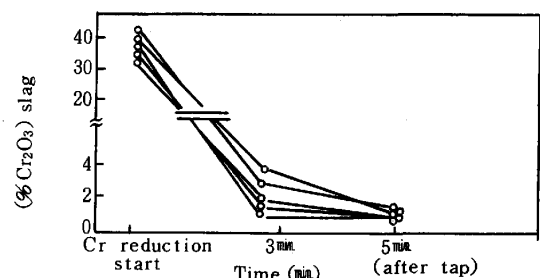


Fig. 12 Change of (%Cr₂O₃) slag during improved Cr reduction method

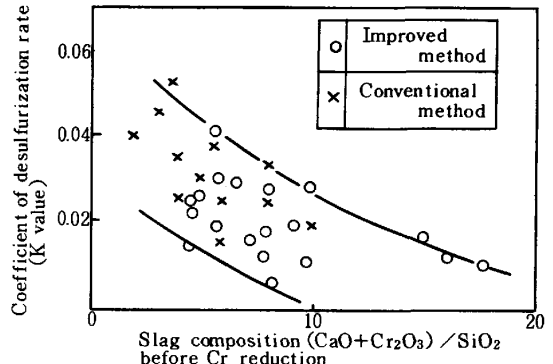


Fig. 13 Comparision of desulfurization rate between conventional and improved Cr reduction method

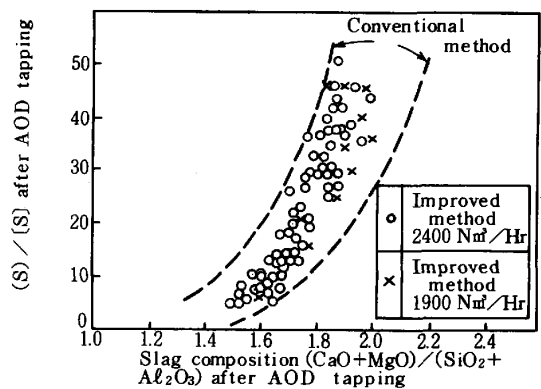


Fig. 14 Relation between (S)/[S] and slag composition (CaO+MgO)/(SiO₂+Al₂O₃) after AOD tapping

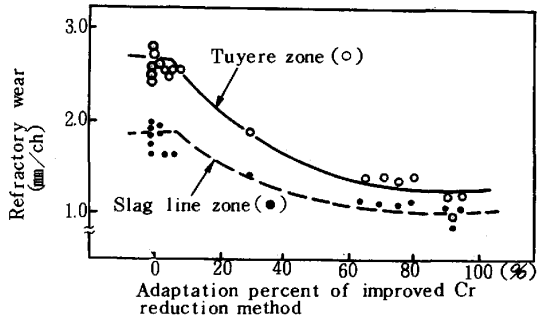


Fig. 15 Relation between refractory wear and adaptation percent of improved Cr reduction method